

析要素の Suboptimization による鋼連続析の最適設計

東京大工工学部 楠村敏恵
愛媛大工工学部 ○ 大久保禎二

1. まえがき

橋梁構造物などのように大規模でかつ複雑な構造物の最適設計問題では、一般に考慮すべき設計変数および制約条件式の数が非常に多くなり、制約条件や目的関数の内容も複雑であるので、すべての設計変数や制約条件式を並列して考慮し解を求めるよりも、解式の複雑化、計算時間の増大、最適解への収束の困難さなどをひきおこし、さらに使用する計算機の容量の制限なども加わって、一般に最適解を得ることはきわめて困難となる。このようす大規模でかつ複雑な構造物の最適設計法に関する、著者はすでに SLP 法および部材要素の Suboptimization により能率的に最適解を求める方法を提案し、トラス構造物の最適設計^{3), 4)}に適用した例を発表しているが、本論文ではこの方法をさらに発展させ、構造物の各構成（部材）要素に使用する材料の最適な選択をも含む最適設計法を提案し、この方法により弾性理論に基づく鋼連続析の最適設計を行なった例について述べるものである。

ところで、弾性理論に基づく鋼連続析の最適設計法に関しては、これまでに析の断面寸法および応力分布に関する制約条件のもとで、まず析の細分した各断面要素を Fully stressed 状態とし、次に DP の手法を用いて材料費の増加と溶接費の減少とを比較しながらフランジ断面の寸法を平滑化し、最小製作費を与える各断面の寸法および鋼種を決定する方法が研究されていり^{5), 6)}が、不静定構造物では一般に Fully stressed 状態を与える設計変数の組み合わせは数多く存在し、連続析の最適設計という見地からいへば、むしろ最適解に収束するような Fully stress の状態をまず見出すことのほうが重要であるといえり。本研究では、連続析の設計変数として、各部材の断面寸法および使用鋼種、断面寸法の変化位置、支点の位置を考え、制約条件として析断面の設計に関するすべての制約条件および析のたわみに関する制約条件、さらに使用鋼板の板厚として整数値（離散値）を選択することをも条件として考慮し、目的関数として析の製作費を考え、最小の製作費を与えた設計変数を決定しようとするものである。

2. 設計変数、制約条件式

本研究では図-1 に示すような I 型断面を有する鋼連続析を考え、まずマスター・プランなどにより橋長、析の配置、本数および析高は決定されていりものとし、それ以外のすべての設計変数を考慮した（図-1, 図-2 参照）。すなわち、連続析は N 個の部材要素から成るものとし、各部材要素について析高を除くすべての断面寸法： $(x_1, x_2, x_4, \dots, x_8)$ 、使用鋼材の種類（M）および部材要素の変化位置 (L_1, \dots, L_{N-1}) を設計変数とした。この場合中间支点の位置も 1 つの断面変化位置として考慮し最適な支間長を決定した。

また鋼連続析の設計において考慮すべき制約条件としては、析断面に対して許容応力度に關するもの、板厚および板幅に

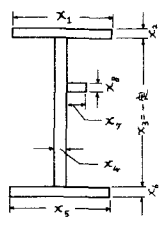


図-1 I 型断面

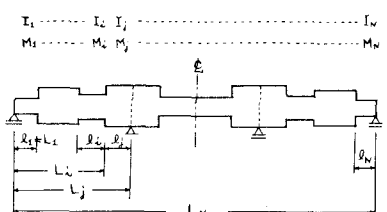


図-2 連続析の設計変数

関するもの、水平・垂直補剛材の必要剛度に関するものがあり、本研究ではこれらを制約条件式として「溶接鋼道路橋示方書」⁹⁾にしたがうものとして計算を行なった。さらに鋼桁断面の板厚に関して整数値を選択することも条件として考慮している。また桁のたわみに関しては各支間における最大たわみが許容たわみ量をこえないことを条件として考慮している。

3. 目的関数

本研究では目的関数として桁の製作費を考え、「鋼道路橋原価計算表（昭和46年度）」¹⁰⁾を参照してその算定式を決定した。すなわち桁全体の製作費（TCOST）は、各部材要素の単位長さ当たりの製作費（C_i）×各部材要素の長さ（l_i）および断面変化点におけるフランジの溶接費用（BW_j）の桁全体の総和として計算されるものとした。

$$TCOST = \sum_{i=1}^n C_i l_i + \sum_{j=1}^{NB} BW_j \quad (1)$$

ここに、NB：フランジの溶接箇所数

また上式のC_iは鋼材費（CM_i）、製作加工費（CF_i）および工場直接費よりなるものとし次式より計算した。

$$C_i = CM_i + CF_i \times (1+FF) \quad (2)$$

ここにFFは工場直接費に関する係数でFF=2.30と仮定した。またCM_iは断面iに使用する各鋼板の容積（重量）×鋼材単価（円/mm³または円/kg）の和であり、各使用鋼板の鋼材単価はベース価格、エキストラ料、規格料、ノルマライズ料の和として各鋼板jとに計算した。製作加工費（CF_i）は原寸、什書、矯正、切断、孔明、鍛治、削成、鉄錆、板組立てなどの加工費およびすみ肉溶接による組立溶接費よりなるものとし、前者については鋼材の単位容積（重量）当たりの単価を、また後者についてはすみ肉溶接の単位溶接量（mm³）当たりの単価を用いて計算を行なった。

フランジの溶接費用（BW_j）は各フランジ溶接箇所における溶接量（mm³）×溶接単価より計算されるものとし、文献10)を参考にして、1mm³当たりのすみ肉溶接および溶合せ溶接の直接工数をSS41では0.00002457、SM50では0.00002837、SM58では0.00003831、1工数当たりの単価を3300円と仮定して溶接単価を計算した。

4. 最適設計法の概要

連続桁の最適設計は2.でのべた設計変数、制約条件式をすべて考慮し、3.で述べた目的関数（式(1)）を最小とする設計変数の値を決定する問題となるが、本研究で用いた最適設計法の概要を述べると次のとおりである。

① 連続桁の各点におけるたわみおよび部材iの大きさは、桁を構成する各部材要素の弾性係数、断面二次モーメントの大きさ(I_i)および長さ(l_i)により決定される。また目的関数のC_iおよびBW_jもI_iの関数として表わされ、さらに工型断面を有する鋼連続桁においては、各部材要素の断面諸元を曲げモーメントにより決定すれば、せん断力に対しても一般に十分余裕のある断面となる。以上のことより、まず外力として曲げモーメントを受けた断面についてSuboptimizationを行ない、種々の桁高および鋼種について断面二次モーメント(I)一最大抵抗曲げモーメント(RBM)、断面二次モーメント(I)一最適断面寸法(SDIM)、断面二次モーメント(I)一最小コスト(COST)の諸関係曲線群を求める。この3つの関係曲線を利用することにより、断面寸法に関する設計変数群および断面に関するすべての制約条件式群をそれぞれIおよびI-RBM関係式一つに集約することができ、

さらに6.で述べるごとく最適鋼種を自動的に決定するための「材料選択変数： $M = (MP, MM)$ 」を導入することが可能となった。したがって、桁断面の Suboptimization により各部材要素に対する設計変数は I , L , M となり、制約条件式は I -RBM 関係式一つに集約されるわけである。

② 連続析の状態変数（応力およびたわみ）、制約条件式の上下限およびそれぞれの設計変数 I , L , M に関する影響係数を計算する。

③ I -COST 関係曲線より、目的関数の I , L , M に関する影響係数を計算する。この場合、目的関数としては式(1)の第1項のみを考慮し、第2項については④において考慮することとする。

④ ①で求めた I -RBM 関係式、②および③で求めた状態変数、目的関数およびその影響係数を用いて設計変数の変化量 $\Delta \mathbf{x}$ に関する線形な制約条件式群

$$\begin{aligned} \mathbf{x}_u - \mathbf{x} &\geq \Delta \mathbf{x}, \quad \mathbf{x}_l - \mathbf{x} < \Delta \mathbf{x} \\ [\mathbf{B} - \mathbf{Z}_l] \Delta \mathbf{x} &\geq \mathbf{Y}_l - \mathbf{Y}, \quad [\mathbf{B} - \mathbf{Z}_u] \Delta \mathbf{x} \leq \mathbf{Y}_u - \mathbf{Y} \\ -\mathbf{L} \Delta \mathbf{x} &\leq \Delta \mathbf{x} \leq \mathbf{L} \Delta \mathbf{x} \end{aligned} \quad \left. \right\} \quad (3)$$

$$\text{および目的関数} \quad Z = C \Delta \mathbf{x} \quad (4)$$

を作成し、 I , L , M すべてを連続型の変数とみなして SLP 法により最適解を求める。この場合鋼種 M については、各計算サイクルごとに改良された Discrete な鋼種に修正を行なう。ただし式(3)および式(4)において \mathbf{x} ：設計変数のマトリックス $= [x_1, \dots, x_n]^T$, $\Delta \mathbf{x}$ ：設計変数の変化量のマトリックス $= [\Delta x_1, \dots, \Delta x_n]^T$, \mathbf{Y} ：状態変数のマトリックス $= [Y_1, \dots, Y_m]^T$, \mathbf{B} : $B_{ij} = \frac{\partial Y_i}{\partial x_j}$ を要素とする $m \times n$ 次のマトリックス, \mathbf{Z}_u , \mathbf{Z}_l : $Z_{ij} = \frac{\partial Y_{iu}}{\partial x_j}$ または $\frac{\partial Y_{il}}{\partial x_j}$ を要素とする $m \times n$ 次のマトリックス, \mathbf{L} , \mathbf{l} : 上限および下限を表わすサフィックス, C ：目的関数(TCOST) に関する $\frac{\partial TCOST}{\partial x_j}$ を要素とする $n \times n$ 次のマトリックス である。

⑤ ④において材料選択変数 M も連続型の変数として扱っているので、最適解の近傍で、 I , L を変化させようよりも M をわずかに変化させようほうが有利となる場合には M が Discrete な値をとらず、したがって計算をくり返しても結果が振動し、制約条件がわざりでけあるが満足しないことが起こり得る。このような場合には鋼種を固定し、 M を設計変数群から除き、 I および L のみを設計変数とすることにより容易に最適解に収束させることができる。

⑥ 以上により目的関数として式(1)の第1項のみを考慮した場合の最適な I , L , M が求められるが、最適解で相隣の I の差が非常に小さい場合には、小さいほうの I を大きいほうの I に等しくするほうがフランジ相互の突合せ溶接(BW)をするよりも経済的となることがある。したがって④～⑤より求めた最適解についてこの検討を行ない、必要であれば I の修正を行なう。

⑦ I -SDIM 関係曲線より各部材要素の I に対する断面寸法を決定する。

5. 桁断面の Suboptimization

桁断面に関する I -RBM, I -SDIM および I -COST の諸関係を求めるため、まず種々の断面高、鋼種および曲げモーメントの組み合わせについて桁断面の最適設計を行なった。この場合桁断面に関する「溶接鋼道路構示方書」⁹⁾に規定している制約条件のほかに、板厚を整数値とする条件をも考慮している。整数型(離散型)の変数をも含む最適問題の解法には混合整数計画法、枝払い法(DPなど)^{5), 6)}の適用が考えられるが、本論文では枝払い法(Branch and Bound Method)の考え方と SLP 法

とを組み合わせた方法を用いることによりきわめて容易に最適解を求めることができた。この方法の詳細については文献2)にくわしく述べているが、その概要は次のとおりである。

すなわち、まず設計変数群: $\mathbf{x} = [x_1, \dots, x_N]^T$ を整数型(離散型)の設計変数群: $\mathbf{x}_I = [x_{I_1}, x_{I_2}, \dots, x_{I_m}]^T$ と連続型の設計変数群: $\mathbf{x}_C = [x_{C_1}, x_{C_2}, \dots, x_{C_n}]^T$ に分け、 \mathbf{x}_I の整数条件なしで SLP 法により最適解: $\mathbf{x}_I^* = [x_{I_1}^*, \dots, x_{I_m}^*]^T$, $\mathbf{x}_C^* = [x_{C_1}^*, \dots, x_{C_n}^*]^T$ を求める。次に \mathbf{x}_I 群について他の設計変数の決定および目的関数に大きな影響を与える設計変数ほど先に Branch and Bound するものとし、まず設計変数 (x_{I_i}) を選び、上で求めた最適解 $x_{I_i}^*$ が整数値あるいは実行可能な離散値であるかどうか調べる。もしそうでなければ上で求めた $x_{I_i}^*$ をはさむ 2 つの整数値(離散値)を定め、それそれの整数値(離散値)について ($x_{I_1}, \dots, x_{I_{i-1}}, x_{I_{i+1}}, \dots, x_{I_m}$) の整数条件なしで SLP 法により最適解を求め、目的関数の値が最小となる x_{I_i} を決定する。このようにして決定した x_{I_i} は、他の未知設計変数を決定する時に定数と考え設計変数群より消去する。このようにして逐次 \mathbf{x}_I 群の変数の整数値を決定してゆけば最終的に \mathbf{x}_I は整数値(離散値)のみとなり、きわめて能率的に整数型の最適解が得られることとなる。この最適設計法の概略的な流れ図を示すと図-3 のごとくになる。

析高の大きい I 型断面の設計においては、腹板厚 x_6 の値が析断面の製作費およびフランジや水平・垂直補剛材の寸法の決定に最も大きな影響を与える、腹板厚を可能な限り薄くするほうがフランジや補剛材の断面を小さくするよりも一般的に経済的となることより、まず x_6 の整数値を決定し、次に x_2, x_6, x_8 の順序で整数値を決定した。

上に述べた方法により析高 1500 mm の断面に関する I-RBM, I-SDIM, I-COST の関係曲線を示すとそれぞれ図-4, 図-5, 図-6 のごとくになる。図-4 および図-6 に示す I-RBM, I-COST 関係式は一般に

$$\left. \begin{aligned} RBM(I) &= a \cdot I + b \\ COST(I) &= c \cdot I + d \end{aligned} \right\} \quad (5)$$

として表わすことができる。ここに a, b, c, d は鋼種および工によって定まる定数である。

このようにして導入した I-RBM 関係曲線は、部材

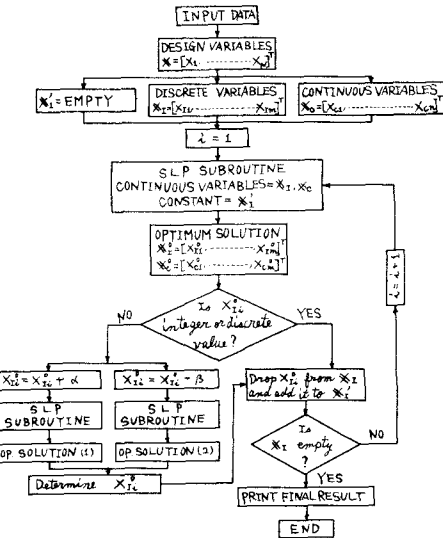


図-3 「枝払い法」の概略的な流れ図

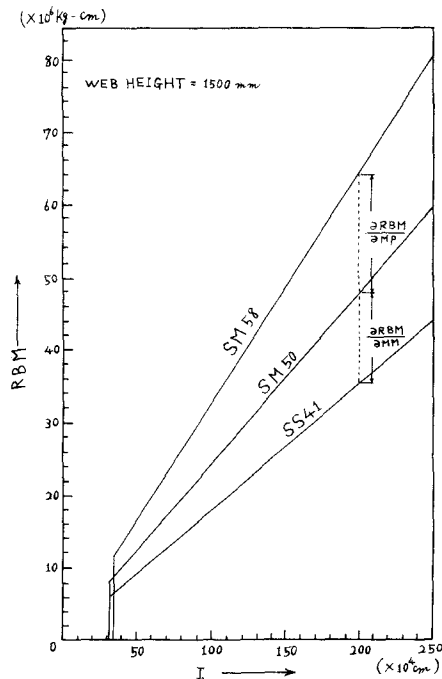


図-4 I-RBM 関係曲線

要素の断面ニセモーメントが工である場合、許容応力度のみならず断面の設計に考慮すべきすべての制約条件を満足し、かつ最も経済的な断面が抵抗し得る曲げモーメントの上限を与えるものである。したがって部材要素に作用する外力による最大曲げモーメントがここで得られた抵抗曲げモーメントより小さければ、その断面は部材に関するすべての制約条件を満足していることとなる。したがって、このI-RBM関係曲線を断面に寫す

るすべての条件式群のかわりに用いることによって、断面に写す制約条件式を1個に集約せるとともに、断面に写す設計変数をも部材の断面ニセモーメント工1個に集約せることができ、構造物全体の最適解をきわめて能率的に求めることができた。

6. 材料選択変数の導入

5で述べた断面の Suboptimization により得られた種々の鋼種のI-RBM, I-COST関係曲線より、同一の工において鋼種のみが変化した場合のRBムおよびTCOSTの変化量を知ることができる。この変化量は、もし鋼種を決定するための設計変数が存在するものとすれば、その設計変数が単位量変化した場合の影響値(影響係数)と見えることができるわけである。この考え方に基づいて、本研究では各部材要素に使用する最適な鋼種Mを自動的に決定するため次のような「材料選択変数」を導入し、これを工やLと同様に独立変数として式(3)および式(4)において同時に考慮することにより最適な工、LおよびMを決定することができた。

この「材料選択変数」は、各部材要素に対して MP と MM の2種類より成り、MP は現在考慮している鋼種より強度の大きい鋼種を選択するためのもの、MM は現在考慮している鋼種より強度の小さな鋼種を選択するためのものである。本研究では SLP 法により最適解を求める過程での1計算サイクルにおいて変化し得る鋼種を最隣接のいずれかの鋼種のみとした。したがって MP, MM のとり得る大きさの限界は、

$$SS41 \text{ では } MP = +1, MM = 0$$

$$SM50 \text{ では } MP = +1, MM = +1$$

$$SM58 \text{ では } MP = 0, MM = +1$$

となり、MPあるいはMMの値が0.5を超えたとき隣接の鋼種に変化させるものとした。

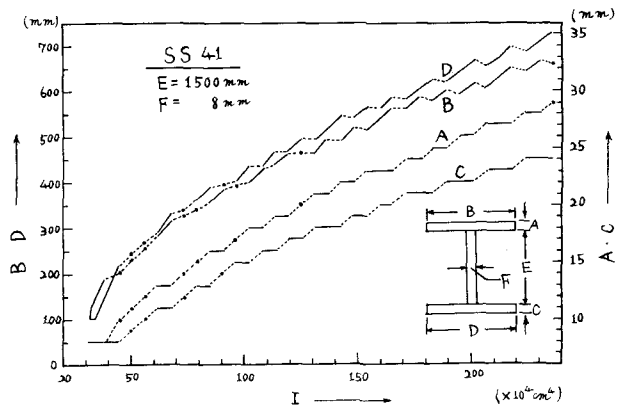


図-5 I-SDIM関係曲線 (SS41)

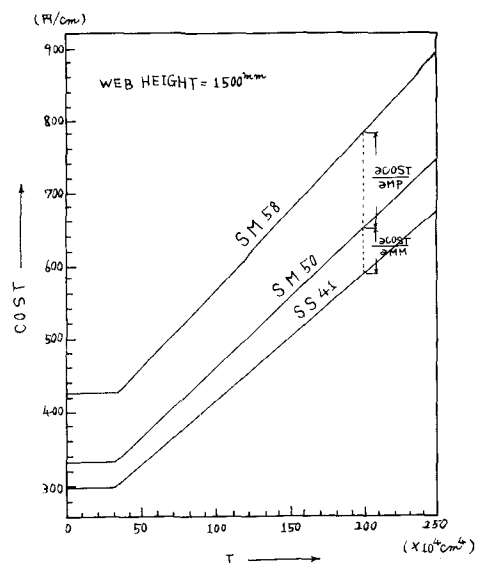


図-6 I-COST関係曲線

7. 連続析の状態変数および影響係数の算定

連続析の状態変数(各部材要素に作用する最大曲げモーメントおよび最大たわみ)およびその影響係数は変位法により解き、それぞれの影響線の縦面は、各部材要素のn等分点において求めた。

いま、 $\$_{dd}$: 部材剛性マトリックス

$\$_{dd}$: 格点剛性マトリックスのサブマトリックス

D_d : 未知格点変位マトリックス = { D_d }

D_m : 部材端変位マトリックス = { D_m }

A_{fm} : 外カによる部材端カマトリックス = { A_{fm} }

A_d : 未知変位格点に作用する等価格点外カマトリックス = { A_d }

A_m : 未知部材端カマトリックス = { A_m }

とすると、 D_d および A_m は次式より計算される。

$$\left. \begin{aligned} D_d &= \$_{dd}^{-1} \cdot A_d \\ A_m &= A_{fm} + \$_{m \cdot} \cdot D_m \end{aligned} \right\} \quad (7)$$

部材要素内の任意の点におけるたわみ θ および部材力 A は D_d および A_m より容易に求めることができる。

また θ および A の設計変数 X に関する影響係数 $\partial \theta / \partial X$ および $\partial A / \partial X$ は、次に示す D_d および A_m の偏微係数 $\partial D_d / \partial X$, $\partial A_m / \partial X$ を用いて計算することができる。

$$\left. \begin{aligned} \frac{\partial D_d}{\partial X} &= \frac{\partial \$_{dd}^{-1}}{\partial X} A_d + \$_{dd}^{-1} \frac{\partial A_d}{\partial X} && \text{ここに} \\ \frac{\partial A_m}{\partial X} &= \frac{\partial A_{fm}}{\partial X} + \frac{\partial \$_{m \cdot}}{\partial X} D_m + \$_{m \cdot} \frac{\partial D_m}{\partial X} && \frac{\partial \$_{dd}^{-1}}{\partial X} = -\$_{dd}^{-1} \cdot \frac{\partial \$_{dd}}{\partial X} \cdot \$_{dd}^{-1} \end{aligned} \right\} \quad (8)$$

ただし、上式中の偏微係数は設計変数 X の性質によりそもそも異なった計算式を用いなければならぬ。すなはち、設計変数 X としてi番目の部材要素の断面二次モーメント I_i を考える場合には、 I_i の変化による死荷重の変化を無視すれば $\partial A_d / \partial I_i$, $\partial A_{fm} / \partial I_i$ とも = 0 となり、式(8)は

$$\frac{\partial D_d}{\partial I_i} = \frac{\partial \$_{dd}^{-1}}{\partial I_i} A_d, \quad \frac{\partial A_m}{\partial I_i} = \frac{\partial \$_{m \cdot}}{\partial I_i} D_m + \$_{m \cdot} \frac{\partial D_m}{\partial I_i} \quad (9)$$

と簡単にすることができる。また上式中の $\partial \$_{m \cdot} / \partial I_i$ は、

$$\frac{\partial \$_{m \cdot}}{\partial I_i} = \begin{bmatrix} \frac{12E}{l_i^3} & \frac{6E}{l_i^2} & -\frac{12E}{l_i^3} & \frac{6E}{l_i^2} \\ \frac{6E}{l_i^2} & \frac{4E}{l_i} & -\frac{6E}{l_i^2} & \frac{2E}{l_i} \\ -\frac{12E}{l_i^3} & -\frac{6E}{l_i^2} & \frac{12E}{l_i^3} & -\frac{6E}{l_i^2} \\ \frac{6E}{l_i^2} & \frac{2E}{l_i} & -\frac{6E}{l_i^2} & \frac{4E}{l_i} \end{bmatrix}, \quad \frac{\partial \$_{m \cdot}}{\partial I_i} = \begin{bmatrix} 0 & & & \\ & \vdots & & \\ 0 & & & \end{bmatrix} \quad (10)$$

(j ≠ i)

となる。したがって $\partial \$_{dd} / \partial I_i$ は、着目しているi番目の部材要素に関する要素のみ上記の $\partial \$_{m \cdot} / \partial I_i$ の各要素を有し他の要素はすべて0となるマトリックスとなる。

次に部材要素のi番目の変位位置 i を設計変数と考える場合には、i番目およびi+1番目の部材要素とともに影響を受け、部材剛性マトリックスの偏微係数は

$$\frac{\partial S_{mi}}{\partial L_i} = \begin{bmatrix} -\frac{36EI_2}{l_i^3} & -\frac{12EI_2}{l_i^2} & \frac{36EI_2}{l_i^4} & -\frac{12EI_2}{l_i^3} \\ -\frac{12EI_2}{l_i^2} & -\frac{4EI_2}{l_i^3} & \frac{12EI_2}{l_i^4} & -\frac{2EI_2}{l_i^3} \\ \frac{36EI_2}{l_i^4} & \frac{12EI_2}{l_i^3} & -\frac{36EI_2}{l_i^5} & \frac{12EI_2}{l_i^4} \\ -\frac{12EI_2}{l_i^3} & -\frac{2EI_2}{l_i^2} & \frac{45EI_2}{l_i^3} & \frac{4EI_2}{l_i^2} \end{bmatrix}, \quad \frac{\partial S_{mi+1}}{\partial L_i} = \begin{bmatrix} \frac{36EI_{i+1}}{l_{i+1}^3} & \frac{12EI_{i+1}}{l_{i+1}^2} & \frac{36EI_{i+1}}{l_{i+1}^4} & \frac{12EI_{i+1}}{l_{i+1}^3} \\ \frac{12EI_{i+1}}{l_{i+1}^2} & \frac{4EI_{i+1}}{l_{i+1}^3} & \frac{12EI_{i+1}}{l_{i+1}^4} & \frac{2EI_{i+1}}{l_{i+1}^3} \\ \frac{36EI_{i+1}}{l_{i+1}^4} & \frac{12EI_{i+1}}{l_{i+1}^3} & -\frac{36EI_{i+1}}{l_{i+1}^5} & \frac{12EI_{i+1}}{l_{i+1}^4} \\ \frac{12EI_{i+1}}{l_{i+1}^3} & \frac{2EI_{i+1}}{l_{i+1}^2} & \frac{45EI_{i+1}}{l_{i+1}^3} & \frac{4EI_{i+1}}{l_{i+1}^2} \end{bmatrix} \quad (11)$$

ただし

$$\frac{\partial S_{mj}}{\partial L_j} = \begin{bmatrix} 0 & \cdots & 0 \\ \vdots & & \vdots \\ 0 & \cdots & 0 \end{bmatrix} \quad (j \neq i, i+1) \quad (12)$$

となる。したがって $\frac{\partial S_{dd}}{\partial L_i}$ は、 i および $i+1$ 番目の部材要素に関する要素のみ上記の各要素を有し、他の要素はすべて 0 となるマトリックスとなる。

また図-7に示す固定ばかりの等価格点モーメントは

$$M_A = -P \frac{f_{g,i}}{f_{g,i}} l, \quad M_B = P \frac{f_{g,i}}{f_{g,i}} l \quad (13)$$

より計算される。したがって等価格点外カーマトリックス A_d の影響係数 $\frac{\partial A_d}{\partial L_i}$ は、部材要素との曲げモーメントに対して

$$\frac{\partial M_{Ai}}{\partial L_i} = -P \frac{f_{g,i}}{f_{g,i}} \frac{f_{g,i}}{f_{g,i}}, \quad \frac{\partial M_{Bi}}{\partial L_i} = P \frac{f_{g,i}}{f_{g,i}} \frac{f_{g,i}}{f_{g,i}} \quad (14)$$

部材要素 $i+1$ の曲げモーメントに対して

$$\frac{\partial M_{Ai+1}}{\partial L_i} = P \frac{f_{g,i+1}}{f_{g,i+1}} \frac{f_{g,i+1}}{f_{g,i+1}}, \quad \frac{\partial M_{Bi+1}}{\partial L_i} = -P \frac{f_{g,i+1}}{f_{g,i+1}} \frac{f_{g,i+1}}{f_{g,i+1}} \quad (15)$$

の要素を有し、他の要素はすべて 0 となるマトリックスとなる。また外力による部材端力マトリックス A_{fm} の影響係数 $\frac{\partial A_{fm}}{\partial L_i}$ は、上記の $\frac{\partial M_A}{\partial L_i}$ および $\frac{\partial M_B}{\partial L_i}$ の符号が逆となる要素を有するマトリックスとなる。

D_d および A_m の材料選択変数 (MP_i, MM_i) による影響係数: $\frac{\partial D_d}{\partial MP_i}, \frac{\partial D_d}{\partial MM_i}, \frac{\partial A_m}{\partial MP_i}, \frac{\partial A_m}{\partial MM_i}$ は、使用鋼種 M が変化しても EI あるいは l が変化しないことよりすべて 0 となる。また制約条件の上下限に対する影響係数は次のようにして求めることができる。

まず桁断面の最大抵抗曲げモーメントの I_i に対する影響係数は式(15)の I-RBM関係式により

$$\frac{\partial A_{i,allowable}}{\partial I_i} = a, \quad \frac{\partial A_{i,allowable}}{\partial I_i} = 0 \quad (j \neq i) \quad (16)$$

となる。設計変数 I_i の変化に対しては桁断面の最大抵抗曲げモーメントは変化せず

$$\frac{\partial A_{j,allowable}}{\partial L_i} = 0 \quad (\text{すべての } j \text{ に対して}) \quad (17)$$

となる。また材料選択変数に関する図-4の I-RBM関係曲線より

$$\left. \begin{aligned} \frac{\partial A_{i,allowable}}{\partial MP_i} &= RBM_{M+1}(I_i) - RBM_M(I_i) \\ \frac{\partial A_{i,allowable}}{\partial MP_i} &= 0 \quad (j \neq i) \end{aligned} \right\} \quad (18)$$

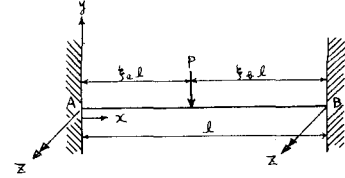


図-7 固定ばかり

$$\left. \begin{aligned} \frac{\partial A_{i,allowable}}{\partial M_{M,i}} &= RBM_M(I_i) - RBM_{M+1}(I_i) \\ \frac{\partial A_{i,allowable}}{\partial M_{M,i}} &= 0 \quad (j \neq i) \end{aligned} \right\} \quad (19)$$

となる。

桁の活荷重による最大許容たわみ量 $ID_{allowable}$ の影響係数に関しては、本研究では各支間における最大許容たわみ量は支間の長さに関係なく一定であると仮定しているので全設計変数に対して

$$\frac{\partial ID_{allowable}}{\partial X} = 0 \quad \text{となる。}$$

目的関数に対する各設計変数の影響係数 $\frac{\partial TCOST}{\partial X}$ は式(4)および I-COST 曲線より次のようにして求めることができる。ただし 4 の ③ および ⑥ で述べたように式(1)の第 2 項については別の方法で考慮しているので、ここでは第 1 項についてのみ考慮すればよい。

まず設計変数が I_i の場合には式(1)より

$$\frac{\partial TCOST}{\partial I_i} = C_i \times l_i \quad (20)$$

となる。また設計変数が L_i の場合には部材要素 i と $i+1$ との COST の差として次式より計算することができる。

$$\frac{\partial TCOST}{\partial L_i} = COST(I_i) - COST(I_{i+1}) \quad (21)$$

また目的関数の MP および MM に関する影響係数は、図-6 に示す I-COST 曲線より同一断面ニセモーメントにおける各鋼種間の COST の差 × 部材要素の長さ (l_i) として求められる。

$$\left. \begin{aligned} \frac{\partial TCOST}{\partial MP_i} &= \{ COST_{M+1}(I_i) - COST_M(I_i) \} \times l_i \\ \frac{\partial TCOST}{\partial MM_i} &= \{ COST_M(I_i) - COST_{M+1}(I_i) \} \times l_i \end{aligned} \right\} \quad (22)$$

となる。

8. 制約条件式群および目的関数の形成

7 で求めた状態変数、目的関数およびそれの影響係数を式(3)および(4)に代入し、最適化 ΔX を求めるための制約条件式群および目的関数をまとめると次のようになる。

すなはち制約条件式群として、部材断面積の曲げモーメントに関して

$$\left[\frac{\partial A}{\partial X} - \frac{\partial A_{allowable}}{\partial X} \right] \cdot \{ \Delta X \} \leq \{ A_{allowable} - A \} \quad (23)$$

部材要素の最大変位に関して

$$\left[\frac{\partial ID}{\partial X} - \frac{\partial ID_{allowable}}{\partial X} \right] \cdot \{ \Delta X \} \leq \{ ID_{allowable} - ID \} \quad (24)$$

設計変数の変化量 ΔX に関して

$$\{ -\beta X \} \leq \{ \Delta X \} \leq \{ \beta X \} \quad (25)$$

ここで、 β : ΔX の変化量を制限する係数 (Move Limit)。

また目的関数として

$$Z = \left[\frac{\partial T \text{COST}}{\partial X} \right] \cdot \{ \Delta X \} \quad (26)$$

が得られ、シンプルックス法により目的関数を最大に減少させらる ΔX を求め、 $X' = X + \Delta X$ として設計変数を改良するとともに、最適解に近づくにしたがい多くの大きさとも調整しながら計算をくり返し最適解に収斂させることができる。

9. 計算例

図-8に示す3径向連続析に移動集中荷重: $P_2 = 20 \text{ ton}$, 等分布活荷重: $Q_2 = 2 \text{ ton/m}$ (P_2, Q_2 ともに衝撃効果を含む) 等分布死荷重: $Q_d = 2 \text{ ton/m}$ が載荷するものとし、上記の理論により最適設計を行なった結果を表-1および2に示す。これらの表において解Iは鋼種(M)をも設計変数として考慮した場合の最適解を示し、解IIは解Iの結果より最適鋼種を決定し、他の設計変数の修正を行なった最適解を示すものである。

表-1は解Iにおける制約条件を考慮しない場合の結果である。解Iでの最適鋼種の選択はきめて良好で、初期鋼種がどのようなものであれ、数回のくり返し計算で最適鋼種を決定している。しかし材料選択変数を連続型の設計変数として考慮しているため、表-1の第5列に示すじとく最適解においてもなお多少のプラス方向の鋼種（この例ではすべての部材要素に対してSM58）への変更を示唆しており、このたの各部材要素の実曲げモーメントと最大抵抗曲げモーメントの比はすべて1に近い値ではあるがわずかに大きくなっている。そこで次に、解Iの結果より最適鋼種としてすべての部材要素にSM50を採用し、IおよびIIの修正を行なうと解IIを得、 $I_1 = I_2, I_3 = I_4$ となりすべての部

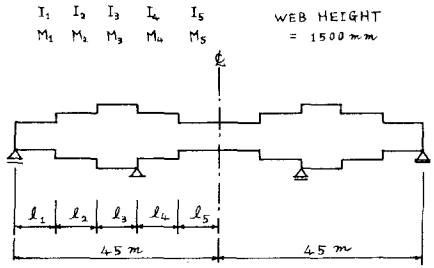


図-8 三径向連続析

表-1 三径向連続析の最適解
(たのみ制限なし)

	最適値	最適鋼種	BM/RBM	最適解における材料選択変数の値	初期値
I	$I_1: 1647100 (\text{cm}^4)$	SM50	1.038	$+0.0866$	$2000000 (\text{cm}^4)$
	$L_1: 1022 (\text{cm})$				$1000 (\text{cm})$
	$I_2: 1671890$				2000000
	$L_2: 2731$				2000
	$I_3: 1851400$				2000000
	$L_3: 2892$				3000
	$I_4: 1698670$				2000000
	$L_4: 3098$				4000
	$I_5: 1328490$				2000000
	$L_5: 4500$				4500
製作費		5122761 円			初期セラミック費 同一の断面に対する場合の費用の増加
II	$I_1: 1706430 (\text{cm}^4)$	SM50	1.003	0.0	(円) (円)
	$L_1: 1016 (\text{cm})$				
	$I_2: 1706430$				
	$L_2: 2797$				
	$I_3: 1949900$				
	$L_3: 2895$				
	$I_4: 1949900$				
	$L_4: 3118$				
	$I_5: 1299110$				
	$L_5: 4500$				
製作費		5176328 円			最小製作費 5300676円

表 - 2 三径向連続桁の最適解
($f_{allowable} = 6 \text{ cm}$)

		最適値	最適鋼種	BM/RBM	$\%_{allowable}$	最適解における材 料選択支数の値	初期値
I 鋼	I_1	2007080 (cm^4)	SS41	1.039	0.834	+0.0953	2000000 (cm^4)
	L_1	793 (cm)					1000 (cm)
	I_2	2314440					2000000
	L_2	2482					2000
	I_3	2066080					2000000
	L_3	2867					3000
	I_4	2084730					2000000
	L_4	3814					4000
	I_5	2145370					2000000
	L_5	4500					4500
製作費		5708184 円				溶接費	同一断面に違う場合の費用の増加
II 鋼	I_1	2179600 (cm^4)	SS41	0.999	0.856	0.0	86252 (円)
	L_1	853 (cm)					55928 (円)
	I_2	2369880					
	L_2	2552					
	I_3	2004110					
	L_3	2873					
	I_4	2004110					
	L_4	3732					
	I_5	2104060					
製作費		5728390 円				最小製作費	5963978 円

材要素において $BM/RBM = 1.00$ となる。また最小製作費として 5176328 円を得た。この製作費は当然のことながら解 I の製作費よりわずか 1.0% ではあるが高くなっている。また最適支間として 28.95m, 32.10m, 28.95m を得た。

次に各部材要素間の溶接費について検討を行ない表 - 1 の第 6, 7 列の結果を得た。この結果より解 II の断面構成が最終的な最適解となり最小製作費として 5300676 円を得た。

表 - 2 は表 - 1 の連続析に、さらに活荷重による各支間における桁の最大許容たわみ量の絶対値を 6 cm に制限する条件を追加した場合の最適解を示すものである。この例では桁のたわみ量の制限が支配的な制約条件となり、各部材要素に必要となる断面二次モーメントは表 - 1 の最適解よりも大きくなっている。したがって最適な鋼種も曲げモーメントの小さい範囲では SS41 で十分となりており、その大きな部分では SM50 を選択している。また最適解ではすべての支間における最大たわみ量が最大許容たわみ量と等しくなっており、最適支間長として 28.73m, 32.54m, 28.73m を得た。床曲げモーメントと最大抵抗曲げモーメントの比は部材要素 1, 2 については 0.999 ~ 1.011, 部材要素 3 ~ 5 については 0.93 ~ 0.94 と应力的には多少余裕のある断面構成となっている。また最小製作費も 5728390 円と表 - 1 の最適解(解 II)より 10.7% 増加している。次に各部材要素間の溶接費について検討すると表 - 2 の第 7, 8 列のごとくになり、この例では部材要素 1, 2 間の溶接費が 86252 円となるのにに対し、1, 2 を同一断面にする場合の製作費の増加が 55928 円と安くなり、結局部材要素 1 を 2 と同一断面とし、他は解 II の断面を有する桁が最終的な最適解となり、最小製作費として 5963978 円を得た。

また表 - 1 および表 - 2 の最適解における各部材要素 1 ~ 5 の断面寸法は、各鋼種の I-SDIM 圆錐曲線(図 - 5 参照)よりただちに求められ表 - 3 に示す。

10. あとがき

本研究において、溶接鋼道路橋示方書の制約条件および鋼板厚を整数值とする制約条件のもとで、まず SLP および枝払い法を用いて曲げモーメントを受けた析要素の Suboptimization を行ない、その結果得られる I-RBM, I-COST, I-SDIM の関係曲線を用いて設計変数、制約条件式を集約するとともに、あらたに「材料選択変数」を導入し、SLP 法により連続析の最適化断面寸法、支間のみならず使用鋼種も決定する方法をのべ、三径向連続析に適用した結果を示した。この「材料選択変数」による最適材料の決定法は、本研究でとりあげた鋼連続析の例のように弾性係数が等しい同種の材料間の最適選択のみならず、弾性係数の異なる異種の材料間の最適選択の問題にも、材料相互間の弾性係数の比によって断面二次モーメントの大きさを修正することにより、まったく同様に適用することができるものである。

また本研究の析断面の Suboptimization において、連続型および離散型の設計変数を有する最適設計問題を枝払い法およびラッシュ法により解き、技術的判断により離散型変数の Branch and Bound する順序を前もって決定することにより、きわめて容易に最適解を求めることができるこことを示した。また枝払い法は離散型変数の Branch and Bound する順序を前もって決定することが困難な最適問題においても、離散型変数の変域に関する条件を原問題に追加した 2 つの最適問題を作成し、それとの結果を比較しながら Branch and Bound を進めるこにより、計算量の増加は避けられながら比較的容易に離散型の最適解を求めることができるものであり、離散型の設計変数を含むあらゆる最適問題のきわめて有力な解法と考えることができよう。

また本研究において最適解を求める過程で、断面二次モーメント (I) と断面変化位置 (L) の 1 計算サイクルにおける変化量を制限する Move Limit の大きさを、必要な場合にはそれぞれ独立に変化させ得るようにプログラムを作成したが、この方法により最適解へより容易に収斂させることができた。ただし材料選択変数については上限を 1.0 とするのみで Move Limit は変化させなかった。このように 1 つの最適設計問題において性質の異なる設計変数群を同時に考慮し SLP 法により最適解を求める場合には、各設計変数群に用いる Move Limit の大きさをそれぞれ独立に変化させ得るようにプログラムを作成することが望ましい。

ところで他の非線形問題の解法と同様、SLP 法によって得られる最適解は局所的最適解であるので、全域的な最適解を得るためにには初期値の決定がきわめて重要となる。このためには種々の条件に対する最適例をつけ重ね、その結果の集積（連続析としての Suboptimization）を行なうことが大切であり、この結果を利用することにより、任意の設計条件に対する最適解の近似初期値を得、本研究でのべた方法により、さらに能率的に最適解を得ることができ。またこのようにして得られる連続析としての Suboptimization の諸関係式は、あらじ地域における構造物の全体的な最適計画をもより容易に行なうこと可能とするものである。

表-3 各部材要素の断面寸法

(単位: mm)

部材	x_1	x_2	x_3	x_4	x_5	x_6	鋼種
1	546	24	1500	8	587	21	SM50
2	546	24	1500	8	587	21	SM50
3	586	26	1500	8	651	22	SM50
4	586	26	1500	8	651	22	SM50
5	476	20	1500	8	497	18	SM50
6	662	29	1500	8	703	25	SS41
7	662	29	1500	8	703	25	SS41
8	604	26	1500	8	642	23	SM50
9	604	26	1500	8	642	23	SM50
10	624	27	1500	8	669	23	SS41

本論文の計算例では三径間連続析の部材要素数(N)として10個の例を示した。実際に連続析の最適設計を行なう立場からは、さらに数種の部材要素数について最適解を求める、その結果を比較することが必要となる。しかしこの場合注意すべきことは、 N の違いによる美観の問題、製作の難易さ、溶接におけるひずみ直しの問題、架設の難易さなど、本研究で考慮したかぎり種々の問題点をも十分考慮すべきであり、単に数寄的な立場からのみ判断して N の値を決定すべきではない。このようない意味で本研究の方法により得られる最適解はあくまでも設計を行なう際の技術的判断のためのものであって有力な資料として意義があるわけである。

参考文献

- 1) 奥村敏恵・大久保慎二：Suboptimizationによる鋼連続析の最適設計、土木学会論文報告集、第215号、pp. 1-14、1973年7月。
- 2) 大久保慎二・斎田隆司：析断面の最適設計法に関する研究、土木学会中国四国支部第24回学術講演会概要集、pp. 29-32、昭和47年5月。
- 3) 大久保慎二：トラス構造物の最適設計法に関する研究、土木学会論文報告集、第177号、pp. 9-19、1970年5月。
- 4) Okubo, S.: Optimization of Truss Using Suboptimization of Member, Transaction of JSCE, Vol. 2, Part 1, pp. 111-118, December 1970.
- 5) 吉鶴大六：数理計画法I、英立出版、pp. 211-222、昭和46年。
- 6) Nicholson, T. A. J.: Optimization in Industry, Vol. 1, Longman, pp. 123-140, 1971.
- 7) Rezani, R. and Goble, G. G.: Optimum Design of Constant-Depth Plate Girders, Proc. ASCE, Vol. 92, ST 2, pp. 253-281, April 1966.
- 8) Goble, G. G. and Desantis, P. V.: Optimum Design of Mixed Steel Composite Girders, Proc. ASCE, Vol. 92, ST 6, pp. 25-43, December 1966.
- 9) 日本道路協会：溶接鋼道路橋示方書、昭和39年5月(昭和43年5月増補)。
- 10) 日本橋梁建設協会・鉄骨橋梁協会共編：鋼道路橋原価計算表、昭和46年度版。